

Изв. АН Эстонии. Физ. Матем., 1989, 38, № 4, 442—445

УДК 539.3

У. ВАЛЬДЕК

**ЭВОЛЮЦИЯ НЕЛИНЕЙНЫХ ПЛОСКОПОЛЯРИЗОВАННЫХ
ПОПЕРЕЧНЫХ ВОЛН В УПРУГОМ ПОЛУПРОСТРАНСТВЕ**

U. VALDEK. MITTELINEAARSETE TASAPOLARISEERITUD PÕIKILAINETE EVOLUTSIOON
ELASTSES POOLRUUMIS

U. VALDEK. THE EVOLUTION OF NONLINEAR PLANEPOLARISED TRANSVERSE WAVES IN
AN ELASTIC HALFSPACE

(Представил Н. Алумяэ)

Анализ распространения продольных и поперечных волн деформации в нелинейной постановке (с учетом физической и геометрической нелинейностей) на основе уравнений движения связан с определенными трудностями математического характера из-за громоздкости разрешающих уравнений. Поэтому целесообразно применить асимптотический метод расщепления волнового процесса на отдельные волны и для каждой волны составить свое эволюционное уравнение [1-3], имеющее четкий физический смысл. Далее, построено и проанализировано двумерное эволюционное уравнение плоскополяризованной поперечной волны в нелинейно-упругом полупространстве $x_1 \geq 0$, $-\infty \leq x_2 \leq \infty$.

Математическая модель задачи построена на основе девятиконстантной теории упругости [4, 5] с учетом конечности деформации. При этом свободная энергия Гельмгольца F выражается через инварианты I_1, I_2, I_3 тензора деформации Грина ϵ_{ij} с помощью соотношения [5]:

$$q_0 F = \frac{1}{2} \lambda I_1^2 + \mu I_2 + \nu_1 I_1^3 + \nu_2 I_1 I_2 + \nu_3 I_3 + \kappa_1 I_1^4 + \kappa_2 I_1^2 I_2 + \kappa_3 I_1 I_3 + \kappa_4 I_2^2,$$

где q_0 — плотность в недеформированном состоянии; λ, μ — параметры Лямэ; ν_1, ν_2, ν_3 — модули упругости третьего и $\kappa_1, \kappa_2, \kappa_3, \kappa_4$ — модули упругости четвертого порядков. Отметим, что в нелинейной постановке для анализа продольных волн достаточна точность пятиконстантной модели, а девятиконстантную модель используем только для анализа поперечных волн [6, 7]. Введем в рассмотрение вектор $V = \|v_j\|$, $j = 1, \dots, 6$, $v_j = \{u_{k,m}, \dot{u}_k\}$, $k, m = 1, 2$, где u_k — компоненты смещения; запятая обозначает дифференцирование по лагранжевой координате x_m и точка — дифференцирование по времени. Тогда двумерная задача описывается матричным уравнением

$$I \frac{\partial V}{\partial t} + \sum_i A_i \frac{\partial V}{\partial x_i} = 0, \quad A_i = A_i(v_j, v_j^2, \dots), \quad i = 1, 2.$$

Здесь I — единичная матрица. Рассмотрим задачу, когда на свободной поверхности $x_1 = 0$ полупространства задается локализованное по x_2 воздействие $u_{2,1} \neq 0$ и исследуется распространение поперечной волны при $x_1 > 0$. Нужно найти решения типа бегущих волн $f(c_2 t - x_1, x_1, x_2)$, позволяющие судить в асимптотическом приближении [3] об искажении волновых профилей (задача акустодиагностики [1, 2]). Здесь c_2 —

скорость поперечных волн. Двумерное эволюционное уравнение для плоскополяризованной поперечной волны, построенное согласно известной процедуре [2, 3], принимает вид

$$\frac{\partial}{\partial \zeta_2} \left\{ \frac{\partial \beta_2}{\partial \sigma_2} - \left[\text{sign}(m_1 - m_2) \beta_2^2 - \Pi \int \frac{\partial \beta_2}{\partial \eta_2} d\zeta_2 \right] \frac{\partial \beta_2}{\partial \zeta_2} \right\} = \Delta_2 \frac{\partial^2 \beta_2}{\partial \eta_2^2}, \quad (1)$$

где $\beta_2 = \omega_2 / \omega_{20}$, $\omega_2 = \dot{u}_2 \sim u_{2,1}$ и независимые переменные (лучевые координаты) определяются соотношениями

$$\zeta_2 = (c_2 t - x_1) \tau_c^{-1}, \quad \sigma_2 = \varepsilon^2 a_2 \omega_{20}^2 \tau_c^{-1} x_1, \quad \eta_2 = \varepsilon b^{-1} x_2,$$

$$a_2 = \frac{3}{4} |m_1 - m_2| (\varepsilon c_2)^{-2}, \quad c_2^2 = \mu \varrho_0^{-1}, \quad \varepsilon = \frac{1}{2} \sqrt{3 |m_1 - m_2|} \omega_{20} c_2^{-1},$$

$$m_1 = (\lambda + 2\mu + 2\nu_2 + 3\nu_3 + 2\kappa_4) \mu^{-1}, \quad m_2 = \left(\lambda + 2\mu + \nu_2 + \frac{3}{2} \nu_3 \right)^2 \mu^{-1} (\lambda + \mu)^{-1}.$$

Здесь τ_c — характерная длина импульса, ω_{20} — максимальная амплитуда начального воздействия, b — полуширина пучка. Кроме того,

$$\Delta_2 = -\lambda [2(\lambda + \mu)]^{-1} \tau_c^2 b^{-2},$$

$$\Pi = \left(\lambda + 2\mu + \nu_2 + \frac{3}{2} \nu_3 \right) (\lambda + \mu)^{-1} (3 |m_1 - m_2|)^{-\frac{1}{2}} \tau_c b^{-1}.$$

Одномерные аналоги уравнения (1) были выведены раньше [6, 8].

Выпишем здесь также для сравнения известное [3] двумерное эволюционное уравнение продольной волны в упругом полупространстве:

$$\frac{\partial}{\partial \zeta_1} \left[\frac{\partial \beta_1}{\partial \sigma_1} + \text{sign}(1 + m_0) \beta_1 \frac{\partial \beta_1}{\partial \zeta_1} \right] = \Delta_1 \frac{\partial^2 \beta_1}{\partial \eta_1^2}, \quad (2)$$

которое модулирует искажение продольной волны при $x_1 > 0$, если задавать воздействие типа $u_{1,1} \neq 0$ на свободную поверхность $x_1 = 0$. Здесь приняты следующие обозначения:

$$\beta_1 = \omega_1 / \omega_{10}, \quad \omega_1 = \dot{u}_1 \sim u_{1,1}, \quad m_0 = 2(\nu_1 + \nu_2 + \nu_3) (\lambda + 2\mu)^{-1},$$

$$\zeta_1 = (c_1 t - x_1) \tau_c^{-1}, \quad \sigma_1 = \varepsilon a_1 \omega_{10} \tau_c^{-1} x_1, \quad \eta_1 = \varepsilon^{1/2} b^{-1} x_2,$$

$$c_1^2 = (\lambda + 2\mu) \varrho_0^{-1}, \quad a_1 = \frac{3}{2} |1 + m_0| (\varepsilon c_1)^{-1}, \quad \varepsilon = \frac{3}{2} |1 + m_0| \omega_{10} c_1^{-1},$$

а параметр дифракционной расходимости Δ_1 определяется соотношением

$$\Delta_1 = \lambda \mu [2(\lambda + 2\mu) (\lambda + \mu)]^{-1} \tau_c^2 b^{-2}.$$

Эволюционные уравнения (1), (2) были интегрированы численно псевдоспектральным методом [9] при начальных воздействиях

$$\beta_i(\zeta_i, \eta_i) \Big|_{\sigma_i=0} = \exp(-\eta_i^2) \sin \zeta_i, \quad i = 1, 2. \quad (3)$$

Физические параметры задачи соответствовали алюминию [10]. Расчеты были доведены до значения координаты $\sigma_i = 1, 0$, которое соответствует образованию ударной волны согласно одномерной постановке.

В процессе дифракционной расходимости важную роль играют деформации, поперечные по отношению к основной, и тот факт, что $c_1 > c_2$. В случае распространения продольной волны параметр $\Delta_1 > 0$, значит в линейной постановке фазовая скорость уменьшается с увели-

чением волнового числа. В случае поперечной волны имеем $\Delta_2 < 0$, следовательно, фазовая скорость возрастает с волновым числом. Аналогичная ситуация встречается в теории мелкой воды, согласно которой соответствующее уравнению (1) уравнение Кадомцева—Петвиашвили имеет такую же особенность [11].

Как уже известно из анализа одномерных [5, 6, 7] и ударных [7] волн, в нелинейной среде из-за связанности продольной и поперечной деформаций всегда распространяется модифицированная поперечная волна (квазипоперечная волна). Это сказывается и на нелинейном механизме искажения поперечной волны. Если нелинейность продольной волны квадратична, то для поперечной волны механизм искажения сложнее. Во-первых, основная нелинейность имеет кубический характер (член $\text{sign}(m_1 - m_2) \beta_2^2 \partial \beta_2 / \partial \xi_2$). Здесь слагаемое m_1 моделирует качественно основную вклад нелинейности согласно девятиконстантной теории, а слагаемое m_2 вытекает из связанности продольной и поперечной деформаций. Во-вторых, связанность продольной и поперечной деформаций обуславливает также более сложный механизм искажения, моделируемого членом $\text{Pd} \beta_2 / \partial \xi_2 f(\partial \beta_2 / \partial \eta_2) d \xi_2$. Учитываемые им факторы приводят в конечном итоге к несимметричности пучка относительно оси $\sigma_2(x_1)$.

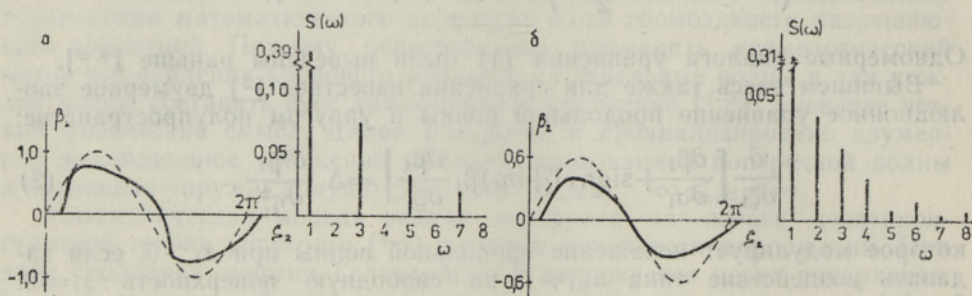


Рис. 1. Разрезы и спектральные амплитуды $S(\omega_i)$ поперечной волны при $\eta_2=0$ (а) и при $\eta_2=1/4b$ (б). Прерывистая линия — начальное воздействие, сплошная линия — искаженный профиль $\sigma_2=1$.

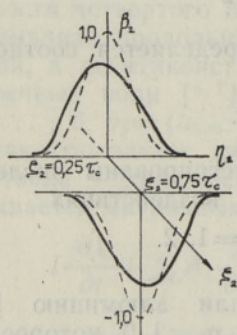


Рис. 2. Искажение поперечного сечения пучка поперечной волны. Сплошная линия — разрез при $\sigma_2=1$, прерывистая линия — начальное воздействие.

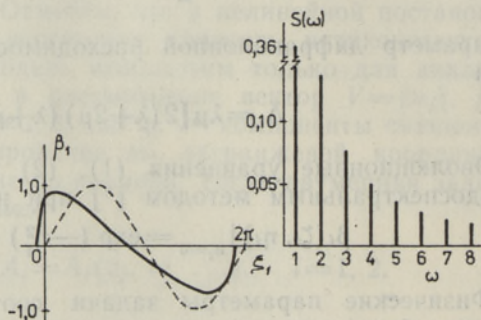


Рис. 3. Разрезы и спектральные амплитуды $S(\omega_i)$ продольной волны при $\eta_1=0$. Обозначения см. рис. 1; $\sigma_1=1$.

Распространение пучка, как правило, сопровождается изменением спектрального состава монохроматической волны, генерированной начальным условием (3). Разрезы пучка поперечной волны при $\eta_2=0$ и $\eta_2=1/4 b$ и соответствующие дискретные спектры представлены на рис. 1. На оси $\eta_2=0$ генерируются только нечетные гармоники, что согласуется с общими понятиями о роли кубической нелинейности. Вдали от оси, однако, $\partial\beta_2/\partial\eta_2 \neq 0$, и появляются также четные гармоники. Искажение поперечного сечения пучка имеет несимметричный характер относительно оси σ_2 (см. рис. 2), что приводит к существенной генерации четных гармоник при $\eta_2 \neq 0$ с ростом σ_2 . Для сравнения на рис. 3 представлены также разрез и соответствующий дискретный спектр продольной волны при $\eta_1=0$. Здесь во всех разрезах наблюдается монотонное распределение спектральных амплитуд [1], и поперечное сечение пучка искажается симметрично относительно оси σ_1 [9].

При распространении поперечной волны в нелинейной диссипативной среде со сдвиговой вязкостью η [4], двумерное эволюционное уравнение приобретает вид

$$\frac{\partial}{\partial \zeta_2} \left\{ \frac{\partial \beta_2}{\partial \sigma_2} - \left[\text{sign}(m_1 - m_2) \beta_2^2 - \Pi \int_{\zeta_2} \frac{\partial \beta_2}{\partial \eta_2} d\zeta_2 \right] \frac{\partial \beta_2}{\partial \zeta_2} - \Gamma^{-1} \frac{\partial^2 \beta_2}{\partial \zeta_2^2} \right\} = \\ = \Delta_2 \frac{\partial^3 \beta_2}{\partial \eta_2^3},$$

где акустическое число Рейнольдса Γ [1, 3] определяется соотношением

$$\Gamma = \frac{3}{2} |m_1 - m_2| \tau_c \omega_{20}^2 Q_0 (\eta c)^{-1}.$$

Как и в случае анализа продольных волн [1, 3], диссипация обуславливает уменьшение амплитуд и при $\sigma_i > 1$ (после образования ударного профиля) она может привести к качественным изменениям в спектральном составе [1].

Необходимо подчеркнуть, что кубическая нелинейность свойственна также электромагнитным волнам, где в одномерной постановке нелинейные эффекты приводят к таким же искажениям профиля как и в случае поперечной волны деформации [12, 13].

Автор глубоко благодарен Ю. Энгельбрехту за обсуждение результатов работы.

ЛИТЕРАТУРА

1. Руденко О. В., Солуян С. И. Теоретические основы нелинейной акустики. М., Наука, 1975.
2. Энгельбрехт Ю. К., Нигул У. К. Нелинейные волны деформации. М., Наука, 1981.
3. Пелиновский Е. Н., Фридман В. Е., Энгельбрехт Ю. К. Нелинейные эволюционные уравнения. Таллинн, Валгус, 1979.
4. Седов Л. И. Механика сплошной среды. М., Наука, 1970, т. I, 492 с., т. II, 568 с.
5. Бленд Д. Нелинейная динамическая теория упругости. М., Мир, 1972.
6. Энгельбрехт Ю. К. // Теоретична и приложна механика, 1974, 5, № 3, 77—86.
7. Куликовский А. Г., Свешникова Е. И. // ПММ, 1982, 46, вып. 5, 831—840.
8. Полякова А. Л. // Мат. X Всес. акуст. конф. М., 1983, 73—76.
9. Пейпман Т. А. // Численные методы решения задач теории упругости и пластичности. Мат. VIII Всес. конф. Новосибирск, СО АН СССР, 1984, 235—240.
10. Шалашов Г. М. // Акуст. ж., 1984, 30, вып. 3, 386—390.
11. Кадомцев Б. В., Петвиашвили В. И. // ДАН, 1970, 192, № 4, 752—756.
12. Cohen, R. H., Kulsrud, R. M. // Phys. Fluids, 1974, 17, № 12, 2215—2225.
13. Седова Г. Л. // Прикл. матем. и мех., 1980, 44, вып. 3, 465—469.